

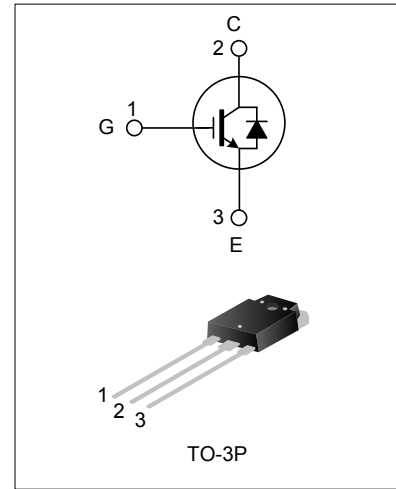
## 20A、600V绝缘栅双极型晶体管

### 描述

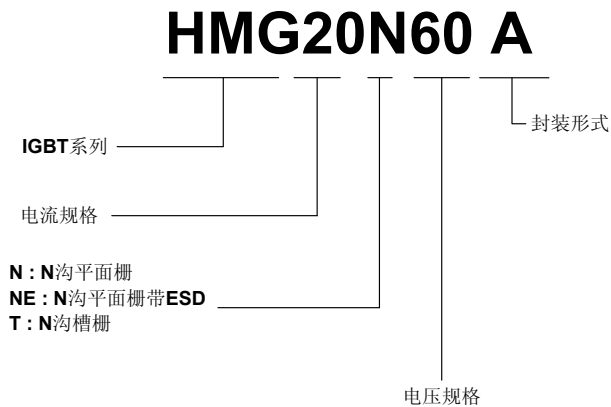
HMG20N60A 绝缘栅双极型晶体管采用新一代场截止 (Field Stop) 工艺制作, 具有低的导通损耗和开关损耗, 正温度系数易于并联应用等特点。该产品可应用于感应加热 UPS, SMPS 以及 PFC 等领域。

### 特点

- ◆ 20A, 600V,  $V_{CE(sat)}(\text{典型值})=2.0V@I_C=20A$
- ◆ 低导通损耗
- ◆ 超快开关速度
- ◆ 高击穿电压



### 命名规则



### 产品规格分类

产品名称	封装形式	型号	材料	包装
HMG20N60A	TO-3P	HMG20N60A	无铅	料管

### 极限参数 (除非特殊说明, $T_C=25^\circ\text{C}$ )

参数	符号	参数范围	单位
集电极-射极电压	$V_{CE}$	600	V
栅极-射极电压	$V_{GE}$	$\pm 20$	V
集电极电流	$I_C$	$T_C=25^\circ\text{C}$	40
		$T_C=100^\circ\text{C}$	20
集电极脉冲电流	$I_{CM}$	60	A
耗散功率 ( $T_C=25^\circ\text{C}$ ) - 大于 $25^\circ\text{C}$ 每摄氏度减少	$P_D$	155	W
		1.24	W/ $^\circ\text{C}$

参 数	符 号	参数范围	单位
工作结温范围	$T_J$	-55~+150	°C
贮存温度范围	$T_{stg}$	-55~+150	°C

### 热阻特性

参 数	符 号	参数范围	单位
芯片对管壳热阻 (IGBT)	$R_{\theta JC}$	0.79	°C/W
芯片对管壳热阻 (FRD)	$R_{\theta JC}$	2.7	°C/W
芯片对环境的热阻	$R_{\theta JA}$	40	°C/W

### IGBT 电性参数 (除非特殊说明, $T_C=25^\circ\text{C}$ )

参 数	符 号	测试条件	最小值	典型值	最大值	单位
集射击穿电压	$BV_{CE}$	$V_{GE}=0V, I_C=100\mu A$	600	--	--	V
集射漏电流	$I_{CES}$	$V_{CE}=600V, V_{GE}=0V$	--	--	200	$\mu A$
栅射漏电流	$I_{GES}$	$V_{GE}=20V, V_{CE}=0V$	--	--	$\pm 400$	nA
栅极开启电压	$V_{GE(th)}$	$I_C=250\mu A, V_{CE}=V_{GE}$	4.0	5.0	6.5	V
饱和压降	$V_{CE(sat)}$	$I_C=20A, V_{GE}=15V$	--	2.0	2.7	V
		$I_C=20A, V_{GE}=15V, T_C=125^\circ\text{C}$	--	2.3	--	V
输入电容	$C_{ies}$	$V_{CE}=30V$	--	916	--	pF
输出电容	$C_{oes}$	$V_{GE}=0V$	--	108	--	
反向传输电容	$C_{res}$	$f=1\text{MHz}$	--	26	--	
开启延迟时间	$T_{d(on)}$	$V_{CE}=400V$ $I_C=20A$ $R_g=10\Omega$	--	15	--	ns
开启上升时间	$T_r$		--	45	--	
关断延迟时间	$T_{d(off)}$		--	67	--	
关断下降时间	$T_f$		--	129	--	
导通损耗	$E_{on}$	$V_{GE}=15V$	--	0.898	--	mJ
关断损耗	$E_{off}$	感性负载	--	0.336	--	
开关损耗	$E_{st}$		--	1.234	--	
栅电荷	$Q_g$	$V_{CE} = 300V, I_C=20A,$ $V_{GE} = 15V$	--	57	--	nC
发射极栅电荷	$Q_{ge}$		--	11	--	
集电极栅电荷	$Q_{gc}$		--	26	--	

### FRD 电性参数(除非特殊说明, $T_C=25^\circ\text{C}$ )

参 数	符 号	测试条件	最小值	典型值	最大值	单位
二极管正向压降	$V_{fm}$	$I_F=12A, T_C=25^\circ\text{C}$	--	1.9	2.6	V
		$I_F=12A, T_C=125^\circ\text{C}$	--	1.5	--	
二极管反向恢复时间	$T_{rr}$	$I_{ES}=12A, di_{ES}/dt = 200A/\mu s$	--	32	--	ns
二极管反向恢复电荷	$Q_{rr}$	$I_{ES}=12A, di_{ES}/dt = 200A/\mu s$	--	74	--	nC

典型特性曲线

图1. 典型输出特性( $T_C=25^\circ\text{C}$ )

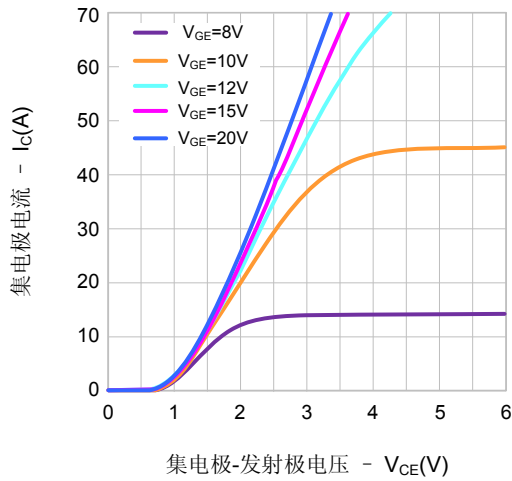


图1. 典型输出特性( $T_C=125^\circ\text{C}$ )

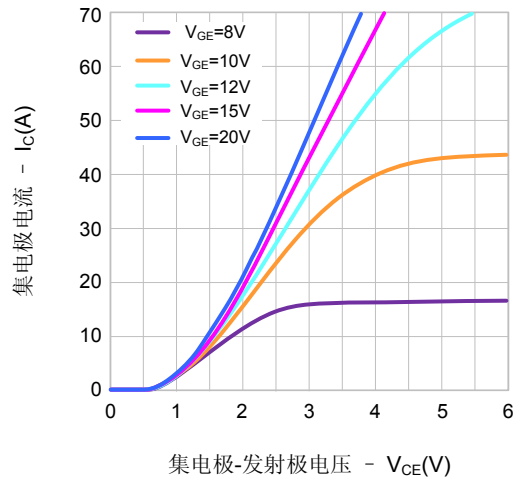


图3. 典型饱和电压特性

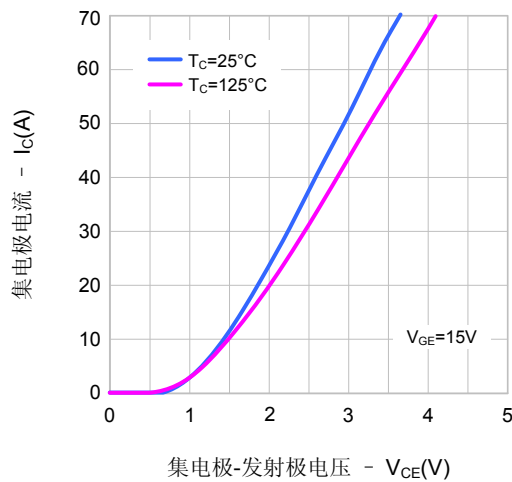


图4. 传输特性

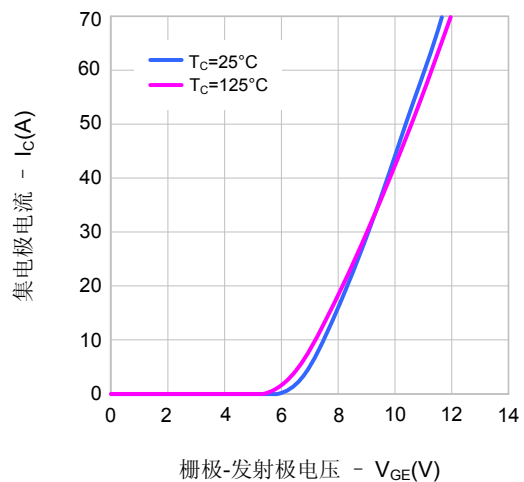


图5. 电容特性

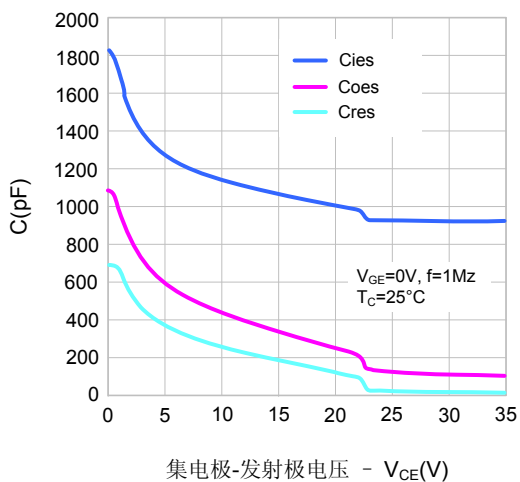
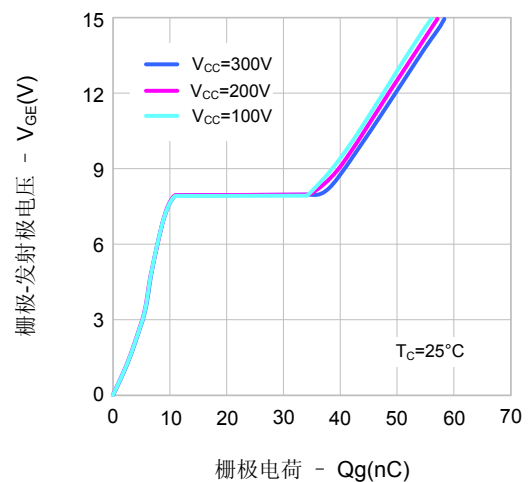


图6. 栅极电荷特性



典型特性曲线 (续)

图7. 开启特性 vs. 栅极电阻

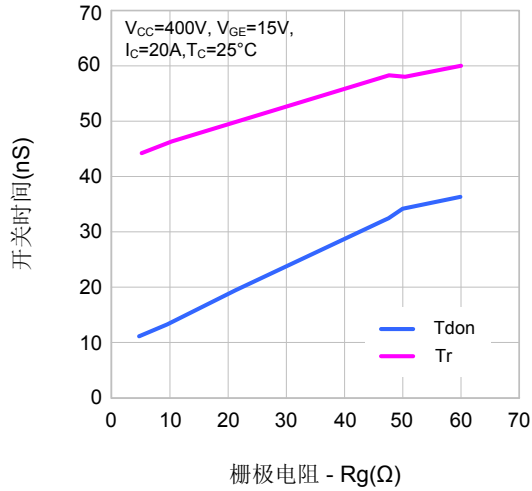


图8. 关断特性 vs. 栅极电阻

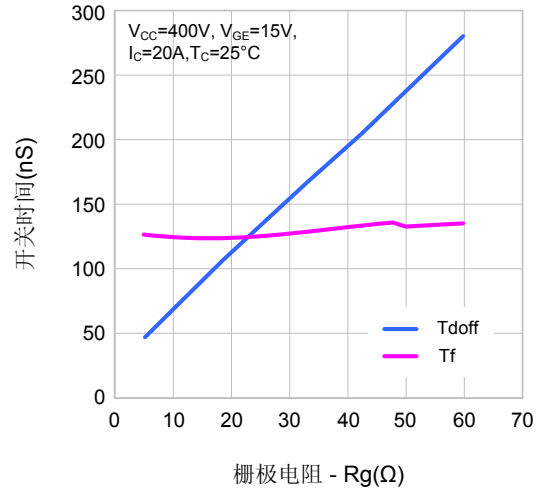


图9. 开关损耗 vs. 栅极电阻

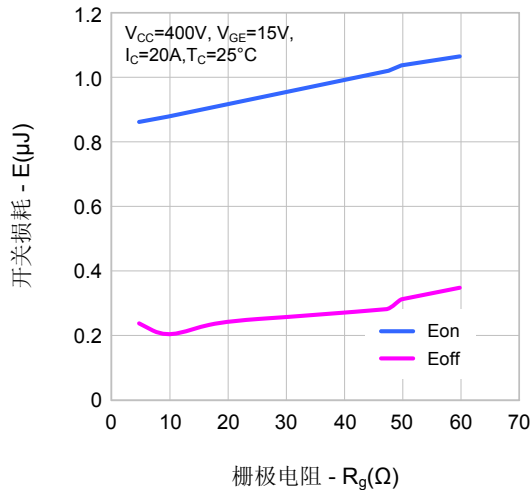
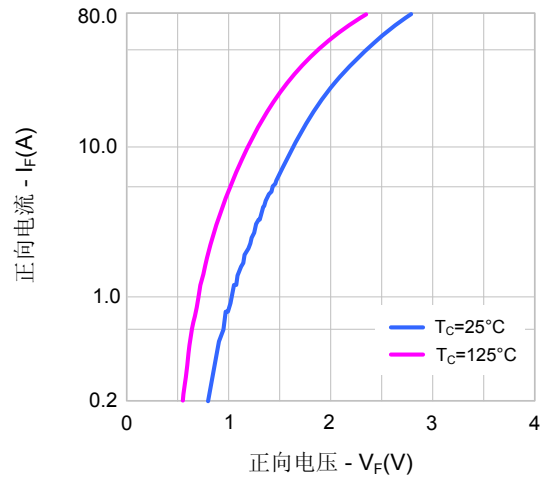


图10. 正向特性



封装外形图

TO-3P

单位: mm

